

論文

UDC 669.187.26 : 621.365.3 : 669.046.586 : 669.046.545.2

Ca-CaF₂ 融体による溶融鉄合金からのりんの除去*

徳光 直樹**・原島 和海**・中村 泰***

Removal of Phosphorus from Liquid Iron-Alloys with Ca-CaF₂ Melt

Naoki TOKUMITSU, Kazu-umi HARASHIMA, and Yasushi NAKAMURA

Synopsis:

ESR experiments were made to study the dephosphorization of S45C, SUS304, and 25%Cr steels with Ca-CaF₂melt used as an electroflux. The reaction was found to occur mainly at the electrode-tip/Ca-CaF₂melt interface. The distribution of P between the liquid steel and the Ca solution was determined only by the Ca content of CaF₂ melt, irrespective of the remelting rate, the flux weight, and the P content of electrode studied. For SUS304 and 25%Cr steels the distribution ratio was given as follows:

$$(\%P)/[\%P] = 4(\%Ca)^2$$

For S45C steel the ratio appeared to be larger than that expected from the above equation. The experimental results indicate that the dephosphorization reaction is nearly completed during the remelting process. The observed dependence of the distribution ratio on the Ca content was proved to be consistent with a model for Ca-CaF₂ solution in which an equilibrium for the reaction, $2Ca^{++} + 2e = Ca_2^{++}$, is assumed.

1. 緒言

前報¹⁾で示したようにエレクトロ・スラグ再溶解(ESR)方式で18%Cr-8%Niステンレス鋼をCa-CaF₂融体で処理すると、有害とみられる不純物元素(O, S, N, P, Asなど)が同時にかつ非常に低いレベルまで除去できる。他のステンレス鋼についても同様に不純物が除去できる²⁾。このためステンレス鋼の耐食性が著しく向上することが認められている³⁾。以下では、このCa-CaF₂融体による精錬法をMSR(Metal bearing Solution Refining)と略記する。

MSRの製鋼技術上の重要な意義のひとつは、還元性スラグでO, SとともにPが能率よく除去可能になったことである。従来の脱リン法は、酸化精錬を中心であつた。このため脱P工程と脱酸工程は分離していた。さらに、酸化精錬法によるステンレス鋼の脱リンは、Crの優先酸化が起きるため実用的でなかつた。これに対してMSRはステンレス鋼中のPはCrの損失なしに容易に除去できる。このようなMSRの特徴は、金属Ca自身が多くの不純物元素に対して強い親和力をもつことに帰因する。しかし、それが実現できた理由は、金属Caの沸点(1492°C)以上の温度域にもかかわらず金属Ca

がCaF₂融体によって溶液状態に保持されていることがある¹⁾。

しかしながら、前報¹⁾では鋼中の多くの元素の挙動を知ることができたが、個々の元素がどのような反応条件の時どの程度除去されるかの定量的な議論については触れなかつた。特にスラグ中のCa濃度や不純物元素濃度の影響については定性的にのみたただけであつた。そこでこのMSRの特異な反応性を理解するために、まず冶金学上もつとも興味のある脱P反応の研究から着手することにした。本論文は、再溶解過程におけるPのスラグ/メタル分配比の測定結果を示し、MSRの脱P条件、脱P平衡、反応機構などを議論したものである。

2. 実験

2.1 装置

使用した再溶解設備は、既に報告したものと同一である¹⁾。電源、ESR炉、電極昇降装置、真空ポンプ系、Arガス供給系、フラックス連続供給装置、電圧自動制御装置、計器盤から成立つ。Fig. 1は再溶解炉の概略図である。通常のESR炉と異なる点は、鋳型上部にフードが被せてあり、炉全体が気密になることである。フードには試料採取孔、観察用の窓、フラックス連続供給装

* 昭和50年10月、昭和51年4月日本会講演大会にて発表
昭和52年2月8日受付(Received Feb. 8, 1977)

** 新日本製鉄(株)基礎研究所(Fundamental Research Laboratories, Nippon Steel Corp.)
*** 新日本製鉄(株)基礎研究所 理博(Fundamental Research Laboratories, Nippon Steel Corp., 1618 Ida Nakahara-ku Kawasaki 211)

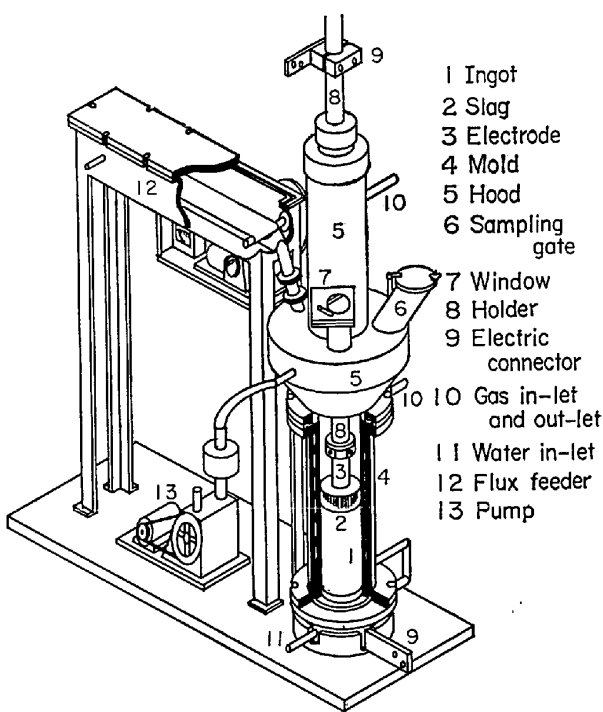


Fig. 1. Schematic view of ESR furnace.

置との連結管、電極把持棒の導入口、ガスの出入口が附属している。フードの外側は水冷用の銅管が巻いてある。鋳型は銅製の水冷方式で、寸法は内径70 mm × 高さ400 mm および径55 mm × 高さ400 mm の二種類である。フラックス連続供給装置はベルト・コンベア方式である。フラックスは均一にベルト上に散布し、ベルトの移動にともなつて鋳型内に給供される。ベルト末端でのフラックスの落下状況が多少断続的になるのは免がれないが、供給速度が小さい実験(～10 g/min)では、他の方式より精度よくフラックスを供給できる。電源は垂下特性をもつ変圧器で、最大出力100 kVA, 50 Hzである。

2.2 原材料

(a) フラックス

使用したフラックスは金属CaとCaF₂の混合物である。金属Caは1～2 mm 径の粒状で、純度は99.9%

の市販品である。特別な処理をすることなくそのまま使用した。ただし、開封後の表面酸化を極力小さくするために保存には十分注意した。CaF₂は微粉末で市販の試薬級純度のものを出発原料とした。特にP含有量は0.01%以下のものを選定した。この微粉末を1000°C, 10 h 加熱・焼結し、ついで粉碎して実験に供した。連続供給には5～20 メッシュの粒度のものを選んだ。理由はESR炉内で吹き上げられることを防止するためである。

(b) 電極

再溶解した電極は、市販のS45C鋼、SUS304鋼の丸棒を所定の径に機械切削したものである。このほかに25%Cr-Fe合金、SUS304合金を真空溶解法で製造し、鍛造、切削によつて丸棒にしたものがある。電極径は、S45C、SUS304は40 mm, 25%Cr-Fe合金は35 mmである。長さは約1 mである。電極の化学成分はTable 1に示してある。

2.3 再溶解実験

以下に述べるようにP分配比を求めた実験-1と反応界面を検討した実験-2に分けられる。実験条件はTable 2にまとめてある。

2.3.1 実験-1

最初、あるCa/CaF₂比をもつフラックスを所定の重量だけ鋳型底部に装入する。電極を把持棒に吊りフードを被せる。炉内の空気を真空ポンプで排出してから高純度Arを約5 l/minの割合で流す。炉内圧は大気圧より僅かに高い値にしておく。アーク加熱でフラックスの一部を溶解し、ついで電極先端を下げて抵抗加熱を行なう。フラックスが完全に溶融した所で短時間電流を切り銅塊の外周に小さな溝⁴⁾をつける。再び電流を通じ、同時に連続供給装置を作動して所定のCa/CaF₂比、供給パターンでフラックスを鋳型に供給する。Ca/CaF₂比、供給パターンは、再溶解中のCa蒸発損失、銅塊/鋳型間に流れ込むフラックス量を考慮して算出する。Ca蒸発速度は0.002～3 g/min·cm²·%Ca、側面に流れる量は8～9 g/cm 銅塊長さ(70 mm鋳型の場合)である。

Table 1. Compositions of iron-alloys before MSR.

	C	Si	Mn	Ni	Cr (%)	Mo	S	N	P
S45C	0.48	-	-	-	-	-	0.018	0.0038-44	0.013-0.023
SUS 304	0.06	0.7	1.6	8.2	18.9	-	0.008	0.024	0.032
	0.05	0.15	1.6	9.3	18.6	-	0.015	0.0048	0.011, 0.038
25%Cr-Fe	0.01	-	-	0.8	25.2	3.1		0.016-23	0.023-26

Table 2. Experimental conditions.

	Mold	Electrode	Electric Cond.		Melting Rate	Final Slag	
	ID (mm)	OD (mm)	Voltage (V)	Current (KA)	(g/min)	Weight (g)	Ca content (%)
S45C	70	40	11.6-12.6	1.6-2.0	125-180	280-340	0.6-3.2
SUS 304	70	40	11-15	1.0-2.45	110-280	320-540	0.8-3.9
25%Cr-Fe	55	35	11.7-13.8	1.3-2.45	100-150	180-250	0.8-3.4

	Initial Flux Charge		Continuous Feed-I		Continuous Feed-II	
	CaF ₂ (g)	Ca (g)	CaF ₂ (g/min)	Ca (g/min)	CaF ₂ (g/min)	Ca (g/min)
	340	7-12	7.1-7.8	0.2-0.9 (0-20 min)	4.75	0.15-0.25 (longer than 20 min)
SUS 304	380-621	4-29 (through the runs)	4.2-5.6	0.1-0.5	-	-
25%Cr-Fe	193	4-11	20-21	0.4-2.6 (0-7 min)	3	0.05-0.2 (longer than 7 min)

連続供給パターンは SUS304 については鋼塊頭部のスラグ重量、Ca 濃度が一定になるようにした。S45C の一部と 25%Cr-Fe 合金は鋼塊の P 濃度分布が一様になるように、S45C の残りは Ca 濃度が一定になるようにした。しかし、本研究の目的の範囲では、フラックス供給パターンは特別な意味をもたない。(鋼塊縦方向の P 濃度分布を議論する際は重要である。)

溶融フラックス内の電極先端深さは、概略一定にとつた(先端の溶融層のみが フラックスに接触する程度)。制御は鋳型-電極間の電圧変化から自動昇降装置を作動させて行う。電極の降下速度は計器に表示される。これを読みとりながら電流を手動で調整し、溶解速度が一定になるようにする(大部分の実験は $160 \pm 10 \text{ g/min}$)。金属 Ca 濃度が高くなると フラックスの電気抵抗は減少する。70 mm 径鋳型、40 mm 径の SUS 304 電極を使用して求めた概略の電気抵抗と Ca 濃度との関係がFig. 2 に示してある。測定法は、同一電流で電極先端が溶融フラックスに接触した場合と溶銅プールに直接漬けた場合の電圧差から計算した。スラグ・プールの深さは 4 cm である。通常の ESR スラグに比べて Ca 濃度が 3 %になると $1/5 \sim 1/10$ の電気抵抗になる。このため M S R では低電圧・大電流操業となる。

鋼塊が所定の高さ(重量にして 3~6 kg)になつた時点で電源を切り、電極を直ちに上昇させる。手早く石英

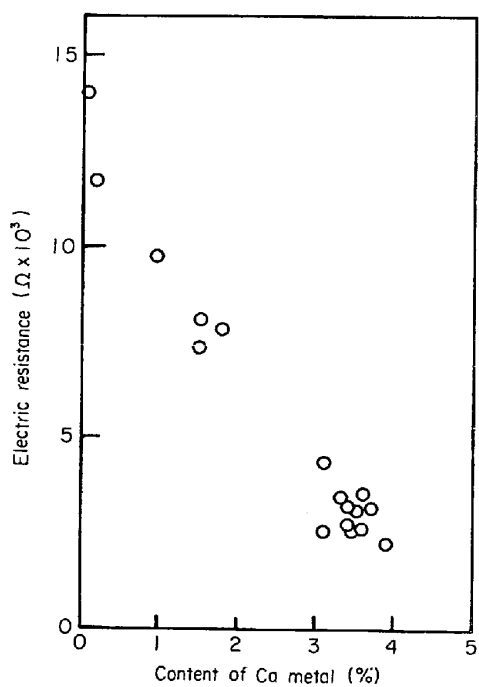


Fig. 2. Relation between electric resistance and Ca content of CaF₂ melt.

管で少量のスラグを採取する。後に Ca, P の化学分析用試料とする。試料採用時に空気が炉内に侵入することを防止するために採取孔の Ar ガス・シールや石英管内の Ar ガス置換などの対策をとつた(主としてスラグの窒素吸収の防止)。採取したスラグは Ar ガス中で冷却し、以後ポリエチレン袋中で保存する。鋼塊は鋳型内で冷却してから炉外に取出す。10 mm 径のドリルで鋼塊側面から 10 mm 深さまでボーリングして分析試料をとる。試料採取位置は鋼塊頭部より 2~3 cm 下である。

2.3.2 実験-2

反応が主として進行する場所を知るために電極先端とそれに対応する鋼塊頭部のP濃度を比較することを試みた。SUS 304(P濃度:320ppm)を使用して実験-1と同様の操作を行う。未溶解の電極先端を縦方向に切断し、断面を王水で腐食する。顕出されたマクロ組織を観察した結果、電極の最先端部の偏平な突起部(幅15mm、高さ2~3mm)にはあきらかに凝固組織がみられる。したがつて、この部分は再溶解実験終了の直前は溶融状態であつたと考えられる。この部分から10点を選んでEPMAでP濃度を測定する。一方、対応する鋼塊の縦方向の切断面より再溶解終了時に溶鋼プールを形成していた部分の10点を選び、EPMAでP濃度を測定する。

2.4 分析法

(a) 鋼中の P

鋼のP含有量は、モリブデン青・吸光度法によつて決定した。分析精度は±2ppmである(分析操作中、有機溶媒抽出を行ない、精度を1桁高くしている)。

(b) スラグの P

鋼と同じ方法で P 含有量を決定した。同一試料での測定値のばらつきは 5 % 程度になる。スラグ中の P は、前報¹⁾でのべたごとく大気中の湿気と反応しやすい Ca_3P_2 の形で存在する。このため試料調製には十分な配慮と迅速性とが要求される。また、試料の酸溶解を非酸化性の酸で行うと PH_3 が発生し、正確な P 分析ができない。濃 HNO_3 が便利である。

(c) スラグの Ca

サク酸水溶液でスラグを処理すると PH_3 , NH_3 , H_2S のほかに H_2 が発生する。サク酸を使用したのは CaF_2 と反応しないためである。発生した H_2 は金属 Ca に

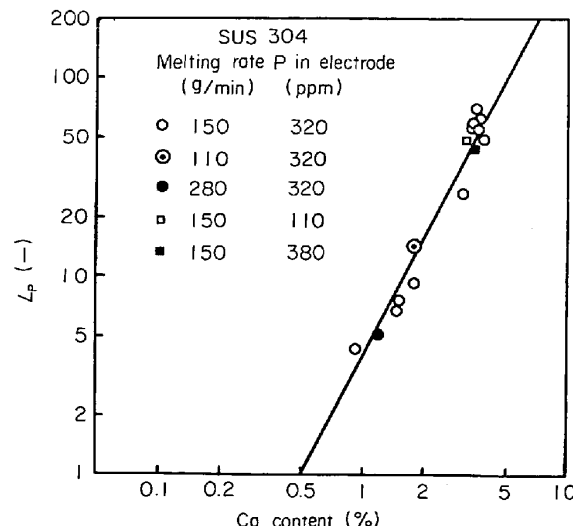


Fig. 3. Observed value of L_P against that of Ca metal concentration. (SUS 304)

帰因する。 PH_3 , NH_3 , H_2S は Ca_3P_2 , Ca_3N_2 , CaS による。ガスの体積を測定した後、 H_2 のみガス・クロマトグラフ法で定量し、 Ca 濃度を算出する。

3. 結果と考察

3.1 スラグ/メタル分配比

Fig. 3 は実験-1 より得られたスラグと SUS 304 鋼塊の P 濃度の比とスラグ Ca の濃度との対数関係が示してある。スラグの P, Ca 分析値は再溶解終了時の Ca-CaF₂ 融体中の値を代表しているとみてよい。一方、鋼塊頭部の P 分析値は、再溶解終了時の溶鋼プール中の値とほとんど同じと考えてよい。Fig. 3 の P 濃度比は、したがつて再溶解時に起きた Ca-CaF₂ 融体/溶鋼間の P の分配比を示す。以後、分配比は次のような記号で表わす。

ここで, L_P は分配比, (%P) は Ca-CaF₂ 融体中の P 濃度, [%P] は溶鋼プール中の P 濃度である. L_P の測定値の誤差は, [%P] = 40 ppm 附近で約 10% 程度と見積られる. Fig. 3 からわることは L_P は Ca 濃度に強く依存している. 実験点は幾分ばらつきがみられるが誤差の範囲内で一本の直線で表わすことができる. その勾配はほとんど 2.0 に近い. したがつて, L_P は次のような実験式で表示できる.

ここで、(%Ca) は Ca-F₂ 融体中の Ca 濃度である。Fig. 3 の実験点は種々のスラグ重量の場合が含まれている。Table 3 は Ca 濃度が近い実験例をとりだして L_P の測定値を比較したものである。 L_P はスラグ重量によらないことがわかる。また、Fig. 3 には電極の P 濃度や溶解速度が異なる例が示してある。いずれも L_P の値に

Table 3. Distribution of phosphorus between SUS 304 alloy and Ca-CaF₂ Solution.
No significant influence of slag weight was observed.

Weight of Capped Slag (g)	Height of Ingot (mm)	Ca Content of slag (%)	P content			P ratio (-)
			electrode (ppm)	ingot (ppm)	slag (%)	
338	83	3.4	320	31	0.18	58
343	217	3.6	320	62	0.39	63
542	199	3.6	320	42	0.23	55
416	210	3.3	110	20	0.10	50
367	213	3.6	380	89	0.41	46

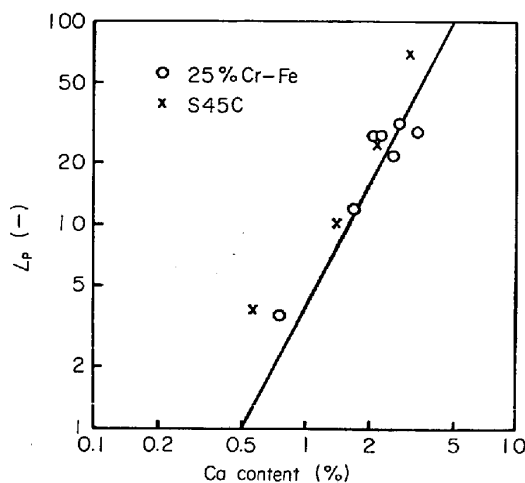


Fig. 4. Observed value of L_P against that of Ca metal concentration. (S45C and 25%Cr-Fe)

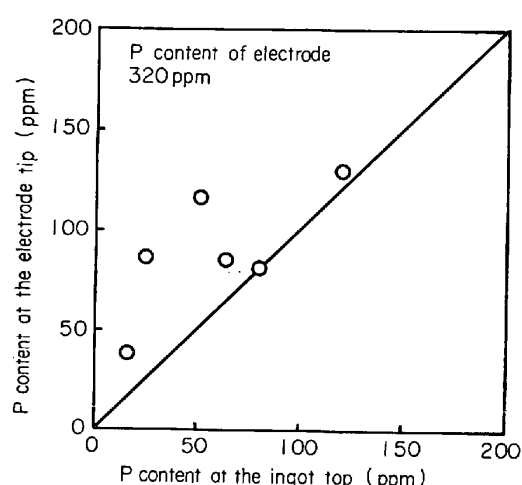


Fig. 5. Comparison of P content at the electrode tip with that at the ingot top. P contents were measured with EPMA method.

与える影響が小さいことがわかる。

Fig. 4 は S45C, 25%Cr-Fe 合金について測定した L_P と (%Ca) との関係が示してある。図中の直線は、SUS 304 で得られた実験式(2)の関係を示す。実験点は、概略この直線の周囲に分布している。この分布状況からみて 25%Cr-Fe 合金の L_P は、実験式(2)で十分表わすことができる ((%Ca) の指数を幾分小さくとつた方がよい)。S45C については、実験点(4点)のうち2点は実験式(2)とよく適合している。しかし、他の2点は実験式(2)から期待される値の2~3倍大きい L_P の値となる。数が少ないので結論をくだすことはできないが、平均をとれば S45C の L_P は実験式(2)より大きいと考えられる。

3.2 主要な反応界面

電極先端および鋼塊頭部の P 濃度を EPMA で測定した結果が、Fig. 5 に示してある。測定精度からみて両 P 濃度が一致したとみられる例もあるが、概略実験点は図

中の 45° 線より上に分布している。ばらつきのため一定の傾向を求めるることはできなかつたが、電極先端の P 濃度は鋼塊に比べて平均 1.3 倍高い値になる。したがつて、スラグ側へ移行した P の 70% 以上が電極先端での反応によることがわかる。

ESR のような再溶解過程のスラグ/メタル反応界面は、電極先端の溶融層、落下する粒滴表面、溶鋼プール表面の 3 カ所である。ただし、以下の議論では粒滴界面での反応量は無視する*。各界面の反応量は、界面積、滞留時間、平衡濃度からの濃度差(反応駆動力)の三者の積として単純に表わすことができる。本実験条件下でのスラグ/溶鋼プール界面積は、電極先端の 1.7 倍大きい。平均滞留時は、溶鋼プールの方が電極先端より 10 倍

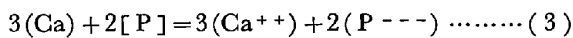
* G. K. COOPER らの研究 (Elect. Furnace Conf. Proc., 28(1970), p. 8) によると、通常の ESR では粒滴からの反応量は、他の界面からのものに比べて小さいことがわかる。落下時間が、短いためであろう。

以上大きいと考えられる⁵⁾. 一方, 平衡濃度を無限小と仮定すると, 溶鋼プールでの濃度差は, 電極先端の値に比べてかなり小さくなる ($1/5 \sim 1/10$). これらより溶鋼プール表面での反応量は, 電極先端と同程度か, またはそれ以上になるであろう. しかし, 実験結果は溶鋼プール表面の反応量は 30% 以下である. この相違は, 濃度差を大きく評価したことによると考えられる. 実際には, 脱 P 反応はかなり平衡状態に近い所まで進行したものとみられる. 前節で P 分配比がスラグ重量, 溶解速度に依存しなかつたのは, この平衡到着の考え方と合致する.

3.3 平衡関係

3.3.1 平衡濃度比

前報¹⁾でのべたように脱P反応は形式的に次のように表わすことができる。



ここで記号（ ）のなかの化学記号は CaF_2 融体中の溶質を、[]内は溶鋼中の溶質を示す。反応式(3)より P の平衡濃度比は形式的に次のように書くことができる。

$$(\% \text{P}) / [\% \text{P}'] = (f_{\text{fP}} / f_{\text{fP}'}) (Ka_{\text{Ca}} / a_{\text{Ca}^{++}})^{3/2} \quad \dots \dots \dots \quad (4)$$

ここで、 K ：平衡定数

$f_{[P]}$: 溶鋼中の P の活量係数

$f_{(P)}$: CaF_2 融体中の P の活量係数

a_{Ca} : CaF_2 融体中の Ca の活量

$a_{\text{Ca}^{++}}$: Ca^{++} の活量

前節でのべたように実験で求めたP分配比, L_P , は各実験条件における平衡状態に近いP濃度比を示すものとみられる。したがつて, L_P に関する実験式(2)と理論式(4)とは対応していなければならない。残念ながらCa-CaF₂-P系の熱力学的データはほとんど知られていない。このため定量的な議論はできないが、実験式(2)が理論式(4)と類似の関数形になつていることを定性的に考察していくこととする。

まず、前提条件として次のことを仮定する：

仮定(a) $f_{(P)}$ は本実験範囲内では一定値をとる。

仮定(b) 反応温度は、反応界面や Ca 濃度には関係なく一定である。

仮定(b)は厳密には成立しない。通常の ESR では電極先端は局部的に高温になる⁶⁾。MSR でも事情は同じであろう。しかし、MSR スラグの電気伝導性が良好なため ESR に比べて電流の集中度は減少すると考えられる⁷⁾。それだけ局部的な発熱が緩和されているであろう。次に Ca 濃度によってスラグ温度が異なつてくると考えられる。温度測定は試みなかつたが、鑄肌の状況からみて Ca 濃度が高いほど温度は幾分低くなる傾向にある。

る。温度変化の脱P反応におよぼす効果は、次のように推論できる。GHOSHとHESS⁸⁾は、計算から Ca_3P_2 の生成反応、 $\text{Ca}(\text{s}) + \text{P}_2(\text{g}) = \text{Ca}_3\text{P}_2(\text{s})$ の自由エネルギー変化を次のように与えている。

$$\Delta G^\circ = -142\,800 + 22.5T \quad (298 \sim 1\,123\text{K})$$

この関係が製鋼温度域まで拡大できると仮定すると、温度が低いほど脱P是有利になる。したがつて、Ca濃度が増加するほど温度の面からも脱Pが促進されるであろう。温度効果は、本来式(4)のKの値を通じて考察すべきである。しかし、ここでは単純に仮定(b)によりKの値は一定とみなし、温度変化の効果はCa濃度の関数の項に組入れて議論を進めることにする。

3.3.2 鋼成分の影響

仮定により(4)式の右辺のうち $(K/a\text{Ca}^{++})^{3/2}/f_{(\text{P})}$ は近似的に一定である。本節では $f_{[\text{P}]}$ の項を検討する。研究した鋼の Cr 濃度を 0, 18, 25% と変更したにもかかわらず、少くとも 18%, 25%Cr 鋼については L_{P} の値は鋼成分に依存しない。しかし、理論式(4)によると $f_{[\text{P}]}$ の項を通じて L_{P} の値が変化しても不合理ではない。そこで、 $f_{[\text{P}]}$ における Cr の影響を、報告されている値をもとにして検討する。

しかしながら、広濃度域にわたる Cr の効果に関する報告例は僅かな上に、結果は相互に大きな開きがみられる^{9)~11)}。 SCHENCK ら⁹⁾は P 蒸気/清鉄間の P 分配平衡を測定した。それによると、Cr 濃度の増加とともに活量係数は増加し、11%Cr の点で最大値となる。それ以降は Cr 濃度の増加とともに活量係数が減少する。溶融鉄、18%Cr-Fe 合金、25%Cr-Fe 合金での活量係数の比は、1 : 2.4 : 1.3 となる。これに対して HADRYS ら¹⁰⁾は Fe/Ag 間の P 分配平衡の測定値から $f_{[P]}$ を求める計算式を提出している。それによると Fe-Cr-P 系の P の活量係数は、Cr の増加とともに減少し、約 18.7%Cr で極小値となり、以後増加する。この変化傾向は SCHENCK らの得た結果とは逆である。HADRYS らの計算式から溶融鉄、18%Cr-Fe、25%Cr-Fe の P の活量係数の比は、1 : 0.52 : 0.56 となる。一方、FROHBERG ら¹¹⁾も Fe/Ag 間の P 分配平衡の結果より関係式を提出している。その結果によると Cr 濃度の増加とともに $f_{[P]}$ は急速に減少する。ちなみに溶融鉄、18%Cr-Fe、25%Cr-Fe の $f_{[P]}$ の比を求めると 1 : 0.12 : 0.03 となる。

以上のごとく既知の $f_{[P]}$ 値は、報告によつて大きな差異がみられる。その意味でこれらの値を直ちに本研究結果の検討に適用することは大きな疑問が残る。将来より詳細な $f_{[P]}$ の研究が望まれるところであるが、報告された値のうち HADDRYS らの結果がデータ処理の厳密性

からみて信頼性がもつとも高いと思われる。もし、彼らの結果にしたがうならば、18%Cr-Fe, 25%Cr-Fe合金の $f_{[P]}$ は非常に近い値になる。したがつて、SUS 304, 25%Cr-Fe合金について L_P の実験値に鋼成分の影響が現われなかつたのは、妥当な結果であつたといえる(ただし、Niの効果は小さいとした)。一方、溶融鉄の $f_{[P]}$ は18%Cr-Feの約2倍になる。S45Cの $f_{[P]}$ は、炭素の効果¹⁰⁾が小さいので溶融鉄の値にほぼ等しい。したがつて、S45Cの L_P は理論式(4)から18%Cr-Feの場合の2倍になるはずである。先に述べたようにS45Cの L_P の測定値は、データ数が少ないので結論することはできないが、SUS 304, 25%Cr-Fe合金の値より大きくなる傾向にある。この傾向は、定性的には上記の推論(2倍の L_P)と一致する。今後低合金鋼、炭素鋼についてさらに研究を進める必要があるが、HADREYSらの結果にしたがう限り本実験で得られた L_P の鋼成分依存性は理論式(4)と矛盾しないといえる。

3.3.3 金属Ca濃度の影響

実験式(2)と理論式(4)の関数形を比較すると、Caの活量と濃度との間には次のような関係が成立するはずである。

$$a_{\text{Ca}} \propto (\% \text{Ca})^{4/3} \propto (N_{\text{Ca}})^{4/3} \quad (5)$$

ここで、 N_{Ca} はCa-CaF₂溶液中のCaのモル分率である。注意すべきことは、 N_{Ca} の指数が $4/3=1.33$ で、1と2の間にくることである。本節はこの結果が妥当なものかどうか定性的な考察を行なう。

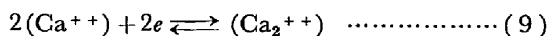
BREDIGの解説¹²⁾によればアルカリ土類金属のハライド溶融塩中に対応する金属を少量添加した時、金属の存在形態はCaを例にとると反応式(6)か(7)((8)でもよい*)のいずれかとみられる。



式(7)の e は電子を表わす。反応式(6)の場合はCaの活量はCa濃度の一乗に比例し、反応式(7)の場合((8)でも同じ)は自乗に比例する¹³⁾。ハライド溶融塩中のアルカリ土類金属の活量を測定した報告によると、ROGERS¹⁴⁾らは反応(6)を主張し、SHARMA¹³⁾とWESTENBERG¹⁵⁾は反応(7)または(8)であると結論している。最近、DWORAKIN¹⁶⁾はアルカリ土類金属(Ca, Ba, Sr)/その

* 本報告では、反応式(7)と(8)のうちいずれの機構が妥当であるかは論じない。いずれにせよ、一箇のCa原子から同種の二箇の粒子が生成するので、後の議論と結論に区別はない。反応式(7)で電子が生成する形になつてゐるが、電子がどのような形で吸収しているかは、諸モデルが提出されている。吸収スペクトルの結果から、陽イオンに閉まれたF-センターに類似な状態にあるとするのが、最近の有力な説である(N. T. NACHTRIEB: "Solution of Metal in Molten Salts" in "Advance in Chem. Phys.", (1975), p. 465)

ハライド塩(Cl, Br, I)系について電気抵抗、融点下降を検討し直した。その結果、溶融塩内で次の平衡が成立し、金属濃度が増加すると分子イオン(ex. Ca₂⁺⁺)濃度が増加していく。



以上の例はいずれも1000°C附近以下の低温での測定結果である。より高温での研究例は少なく、僅かにROGERSら¹⁴⁾がCa-CaF₂の状態図の研究から反応(6)の機構を唱えている。しかし、BREDIG¹²⁾は疑問視している。

以上のように諸説があるためCa-CaF₂融体についてどのモデルを採用するか判断し難いが、ここではDWORAKIN¹⁶⁾の説にしたがつて式(5)の関係を考察していくことにする。反応(6), (7)((7)の代りに(8)でもよい)が同時に平衡状態、したがつて反応(9)も平衡状態にあるとする。反応(7), (9)および物質収支から次の関係が得られる。ただし、電子 e とCa₂⁺⁺イオンはヘンリーの法則にしたがうと仮定する。

$$P_{\text{Ca}} \propto a_{\text{Ca}} = \gamma \cdot N_e^2 \quad (10)$$

$$N_e^2 / N^{++} = K \quad (11)$$

$$N_{\text{Ca}} = N^{++} + (N_e/2) \quad (12)$$

ここで、 P_{Ca} : Caの蒸気圧

N_e : 電子濃度

N^{++} : Ca₂⁺⁺イオン濃度

γ : 定数

K : 反応(9)のみかけの平衡定数

上記の関係を解くと式(13)を得る。

$$a_{\text{Ca}} / \gamma K = F = (1/16) (-1 + \sqrt{1 + 16(N_{\text{Ca}}/K)})^2 \quad (13)$$

($N_{\text{Ca}}/K \rightarrow 0$ ならば式(13)は $F=4N_{\text{Ca}}^2$ となり、反応(7)の場合になる。 $(N_{\text{Ca}}/K) \rightarrow \infty$ とすると $F=N_{\text{Ca}}$ となり、反応(6)の場合となる。したがつて、 N_{Ca} の指数は1と2の中間にになると予想されるが、具体的には次のようになる。関数 F を(N_{Ca}/K)の狭い領域で

$$F \propto (N_{\text{Ca}}/K)^\alpha \quad (14)$$

の形で近似する。この α と(N_{Ca}/K)との関係がFig. 6に示してある。**(N_{Ca}/K)の増加とともに α 値は2.0より急速に減少し、ついでゆるく減少を続け1.0に近づく。途中、(N_{Ca}/K)=0.5の時、 $\alpha=4/3$ となる。この附近から α 値の変化は比較的んだらかになる。 α の値として(1.43~1.23)の範囲を考える。この範囲は N_{Ca}/K の値として(0.25~1.25)に対応する(Fig. 6参照)。

K の値を適当に選べば、本実験の濃度(0.8~4wt%)をこの(N_{Ca}/K)の範囲に含ませることができる。つぎに、 α の変動(1.33 ± 0.10)は、理論式(4)における濃度の指數の変動(2 ± 0.15)に相当する。この程度の変動

** log $F(x)$ を log x で展開して求める。

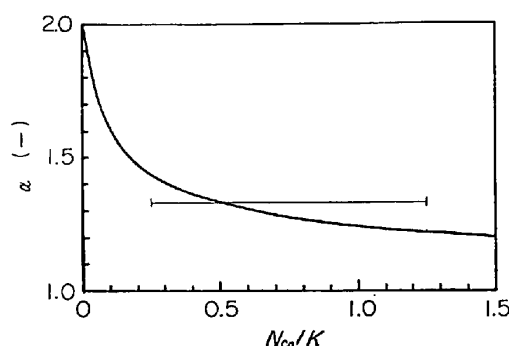
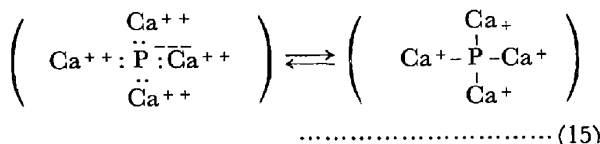


Fig. 6. Relation between α and N_{Ca}/K . The range or N_{Ca}/K of the variation of α from 1.43 to 1.23 is indicated in the figure.

は、 L_P の実験誤差からみて許容できる範囲にある。結局、実験式(2)の濃度依存性は、制約された濃度範囲内で理論的な関係と合致するといえる。より定量的な考察は別途報告したい¹⁷⁾。3・3・1 節でのべたように Ca 濃度が増加するとスラグ温度は幾分低下してくるとみられる。この効果が、式(2)における実測の(%Ca)の指数(2.0)のなかに含まれているとする。このような場合、式(5)の Ca の活量に関する N_{Ca} の指数は $4/3$ より小さくなるが、後の議論や結論は上記と同じになる。Fig. 6 からわかるように α の変化がよりゆるやかな領域となり、近似度は向上する。

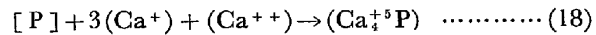
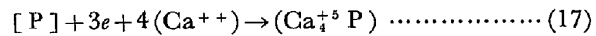
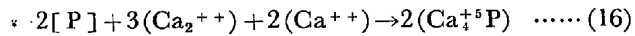
3・4 反応式の推定

熱力学的な考察をする際、CaF₂ 融体中の Ca, P の形態はどのように選択してもよいが、必ずしも実体を表現するものにはならない。前節でのべたごとく Ca は式(3)のような原子状の形では存在しない。分子イオン Ca_2^{++} や F-中心としての電子(あるいは Ca^{2+} イオン)として存在する。同様に反応式(3)ではりんは P^{---} イオンとして存在すると仮定したが、これにも問題がある。一般に P は sp^3 混合軌道を形成し、正四面体構造をとり、化学結合はかなり共有結合性を帯びる¹⁸⁾。P₄ガス分子、液体 P の構造、 PH_4^+ イオンなど多くの例について知られている。Mg₃P₂ の結晶は、その結晶構造からみて共有結合や金属結合の性質をもつといわれている¹⁹⁾。純粋な P^{---} イオンとして存在する例は少ない。したがつて、Ca-F₂ 溶液中の P も周囲のイオンと正四面体構造をもつ原子団イオンを形成するであろう。可能性のある単純な化学構造は次のようになる。

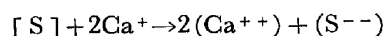
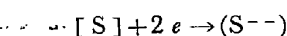
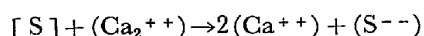


この仮説が正しいとすると、スラグ／溶鋼界面での M

S R の脱 P 反応は、次のいずれかの形式で全体としては進行すると考えられる。



ここで、 $(\text{Ca}_4^{+5}\text{P})$ は化学構造(15)の略号である。N, As は P と同じ最外殻電子配置をとる。これから類推すると MSR による N, As の除去反応は、P と同じ形式をとるであろう。したがつて、N と As の平衡分配比は Ca 濃度の自乗に比例することになる²⁰⁾。一方、S は P と比較して CaF₂ 融体中で S⁻⁻⁻ イオンとして安定に存在し得る。この場合、MSR での脱 S 反応は次のようになる。



これより S の平衡分配比は Ca 濃度の $4/3$ 乗(正確には a_{Ca}) に比例するであろう。

4. 総括

ESR 方式で S45C, SUS 304, 25%Cr-Fe 合金を Ca-CaF₂ 融体で処理し、フラックス/溶鋼間の P 分配比に関する研究を行なった。その結果、再溶解中に起きた脱 P 反応の 70% 以上は電極先端で進行する。分配比は Ca 濃度のみに関係し、スラグ重量、溶解速度、電極 P 濃度にはあまり依存しない。SUS 304, 25%Cr-Fe については、P 分配比は次のような関数形で表わされる。

$$(\%) \text{P}/(\%) \text{P} = 4(\%) \text{Ca}^2$$

合金成分による差はほとんどない。しかし、S45C の分配比は上記の関係より大きくなるとみられる。これらの結果は、脱 P 反応が平衡状態近くまで進行したと考えることによつて説明できる。すなわち、Ca-CaF₂ 融体中で Ca の溶解によつて生じた電子(または Ca^{+} イオン)と Ca_2^{++} イオンが平衡関係にあると仮定して、測定した分配比の Ca 濃度依存性が理論から期待される関数形と近似的に一致することを示した。

終りに文献を御教授下さつた京都大学、盛利貞教授、および川崎製鉄、江見俊彦博士に深く感謝の意を表します。

文 献

- Y. NAKAMURA, N. TOKUMITSU, K. HARASHIMA, and K. SEGAWA: Trans. ISIJ, 16(1976), p. 623
- 中村泰: 日本金属学会会報, 15(1976), p. 387
- 中村泰, 阿部征三郎: 製鉄研究, 289(1976), p. 85
- 中村泰, 原島和海: 鉄と鋼, 63(1977) 8, p. 1235

- 5) Y. NAKAMURA, N. TOKUMITSU, and K. HARASHIMA: Trans. ISIJ, 14(1974), p. 170
- 6) 川上正博, 永田和宏, 山村 稔, 坂田直起, 後藤和弘: 鉄と鋼, 62 (1976), S 494 (第92回講演大会)
- 7) J. CAMPBELL and D. I. DAWSON: BISA Open Report, MG/58/71 (1971)
- 8) D. C. Ghosh and E. G. HESS: Science and Culture, 28 (1962), p. 386
- 9) H. SCHENCK, E. STEINMETZ, and H. G. GITIZAD: Arch. Eisenhüttenw., 40 (1969), p. 597
- 10) H. G. HADRY, M. G. FROHBERG, and J. F. ELLIOTT: Met. Trans., 1 (1970), p. 1867
- 11) M. G. FROHBERG, J. F. ELLIOTT, and H. G. HADRY: Arch. Eisenhüttenw., 39 (1968), p. 587
- 12) M. A. BREDIG: "Mixtures of Metals with Molten Salts" in "Molten Salt Chemistry", M. BLANDER, Ed., p. 367 (Interscience Publishers, 1964)
- 13) R. A. SHARMA: J. Phys. Chem., 74 (1970), p. 3896
- 14) P. S. ROGERS, J. W. TOMLINSON, and F. D. RICHARDSON "Metal-Molten Salt Solution" in "Phys. Chem. of Process Metall.", G. R. St. PIERRE, Ed., 8 (1959), Part 2, p. 909 (Interscience Publishers)
- 15) J. A. VAN WESTENBURG: Iowa State Univ. of Science and Technology, Doctoral Theses, No. 64-9291, (1964)
- 16) A. S. DWORAKIN, H. R. BRONSTEIN, and M. A. BREDIG: J. Phys. Chem., 70 (1966), p. 2384
- 17) 德光直樹: 私信(学位論文原稿)
- 18) A. D. F. TOY: "Phosphorus" in "Comprehensive Inorganic Chemistry," J. C. BAILAR, et al., Ed., 2 (1973), p. 547 (Pergamon Press)
- 19) J. R. VAN WAZER: "Phosphorus and its Compounds," 1 (1958), p. 93 (Interscience Publishers)
- 20) 德光直樹, 原島和海, 中村 泰: 鉄と鋼, 62 (1976), S-99 (第91回鉄鋼協会講演大会)